

Ge009-02

RAPPORT D'INTERVENTION

PARC DE LA PERLE DU LAC

Surveillance de creusement de fosses pour la plantation de nouveaux arbres

Novembre 2021 – février 2022

Evelyne Broillet-Ramjoué

09.02.2023



REPUBLIQUE
ET CANTON
DE GENEVE

POST TENEBRAS LUX

Département du territoire
Office du patrimoine et des sites
Service d'archéologie
Route de Suisse 10
1290 Versoix

Les rapports de fouilles du Service d'archéologie du canton de Genève (SAGe) sont des documents protégés au sens de l'article 2 de la Loi fédérale sur le droit d'auteur et les droits voisins, du 9 octobre 1992 (LDA – RS 231.1).

A ce titre, toute reproduction et/ou utilisation excédent celle(s) autorisée(s) par l'article 19 LDA est soumise à l'autorisation écrite du SAGe.

Table des matières

Fiche technique.....	6
Mots-clés.....	7
Notice scientifique	8
Cadre de l'intervention.....	9
Contexte géographique et géologique	9
Contexte archéologique	10
Contexte historique.....	11
Méthode de l'intervention.....	13
Présentation des résultats	13
Sondages	13
Synthèse/Conclusion.....	22
Bibliographie	24
Crédit photographique.....	24
Annexes	25
Inventaire des photographies numériques	25

Fiche technique

N° carte archéologique et campagne : Ge009-02
Commune: Genève-Petit-Saconnex
Date de l'intervention: 09.11.2021 au 10.02.2022
Localisation/adresse : Rue de Lausanne 1202 Genève
Coordonnées (MN95): 2 500 724 E / 1 119 637 N
Altitude: max. 383.28 m, min. 375.40 m
Carte nationale: 1301
Parcelles: 23:244

Propriétaire: Ville de Genève
Exploitant: Service des espaces verts
Commanditaire de l'intervention: Service des espaces verts
Nature de l'aménagement: Plantations de nouveaux arbres

Intervenants SAGe: Anne de Weck, Evelyne Broillet-Ramjoué et
Garance Lledo (stagiaire)

Intervenants externes:

Type d'opération: Creusement de fosses 1.5 m x 1.5 m sur env. 1
m de profondeur au maximum
Surface fouillée: 36 m²
Nombre de sondages: 16

Mots-clés

<input type="checkbox"/> Paléolithique	<input type="checkbox"/> Edifice public	<input type="checkbox"/> <input type="text"/>	<input type="checkbox"/> BL - Industrie lithique
<input type="checkbox"/> inférieur	<input type="checkbox"/> Edifice religieux	<input type="checkbox"/> <input type="text"/>	<input type="checkbox"/> Inscription
<input type="checkbox"/> moyen	<input type="checkbox"/> Edifice militaire	<input type="checkbox"/> <input type="text"/>	<input type="checkbox"/> Sculpture
<input type="checkbox"/> supérieur	<input type="checkbox"/> Bâtiment	<input checked="" type="checkbox"/> <input type="text"/>	<input type="checkbox"/> CE - Céramique
<input type="checkbox"/> Mésolithique et Epipaléolithique	<input type="checkbox"/> Structure funéraire	<input type="checkbox"/> <input type="text"/>	<input type="checkbox"/> VE - Verre
<input type="checkbox"/> Néolithique	<input type="checkbox"/> Voirie	<input checked="" type="checkbox"/> <input type="text"/>	<input type="checkbox"/> FA - Faune
<input type="checkbox"/> ancien	<input type="checkbox"/> Hydraulique	<input checked="" type="checkbox"/> <input type="text"/>	<input type="checkbox"/> TA - Terre cuite architecturale
<input type="checkbox"/> moyen	<input type="checkbox"/> Habitat rural	<input type="checkbox"/> <input type="text"/>	<input type="checkbox"/> MO - Monnaie
<input type="checkbox"/> final	<input type="checkbox"/> Habitat	<input type="checkbox"/> <input type="text"/>	<input type="checkbox"/> ME - Objet métallique
<input type="checkbox"/> récent	<input type="checkbox"/> <i>Villa</i>	<input type="checkbox"/> <input type="text"/>	<input type="checkbox"/> OH - Ossement humain
<input type="checkbox"/> Chalcolithique	<input type="checkbox"/> Bâtiment agricole	<input type="checkbox"/> <input type="text"/>	<input type="checkbox"/> OR - Matériau organique
<input type="checkbox"/> Protohistoire	<input type="checkbox"/> Structure agraire	<input type="checkbox"/> <input type="text"/>	<input type="checkbox"/> Flore
<input type="checkbox"/> Âge du Bronze	<input type="checkbox"/> Urbanisme	<input type="checkbox"/> <input type="text"/>	<input type="checkbox"/> Reste végétal
<input type="checkbox"/> ancien	<input type="checkbox"/> Maison	<input type="checkbox"/> <input type="text"/>	<input type="checkbox"/> Bois
<input type="checkbox"/> moyen	<input type="checkbox"/> Structure urbaine	<input type="checkbox"/> <input type="text"/>	<input type="checkbox"/> EC - Echantillon
<input type="checkbox"/> final	<input type="checkbox"/> Foyer	<input type="checkbox"/> <input type="text"/>	<input type="checkbox"/> RA - Revêtement architectural
<input type="checkbox"/> Âge du Fer	<input type="checkbox"/> Fosse	<input checked="" type="checkbox"/> <input type="text"/>	<input type="checkbox"/> Enduit peint
<input type="checkbox"/> Hallstatt	<input type="checkbox"/> Fossé	<input type="checkbox"/> <input type="text"/>	<input type="checkbox"/> Revêtement lithique
<input type="checkbox"/> La Tène	<input type="checkbox"/> Sépulture	<input type="checkbox"/> <input type="text"/>	<input type="checkbox"/> Mosaïque
<input checked="" type="checkbox"/> Antiquité romaine (Gallo-romain)	<input type="checkbox"/> Grotte	<input type="checkbox"/> <input type="text"/>	<input type="checkbox"/> OB - Objet
<input type="checkbox"/> République romaine	<input type="checkbox"/> Abri	<input type="checkbox"/> <input type="text"/>	<input type="checkbox"/> Arme
<input checked="" type="checkbox"/> Empire romain	<input type="checkbox"/> Mégalithe	<input type="checkbox"/> <input type="text"/>	<input type="checkbox"/> Outil
<input checked="" type="checkbox"/> Haut-Empire (jusqu'en 284)	<input type="checkbox"/> Artisanat	<input type="checkbox"/> <input type="text"/>	<input type="checkbox"/> Parure
<input type="checkbox"/> Bas-Empire (de 285 à 476)	<input type="checkbox"/> Atelier	<input type="checkbox"/> <input type="text"/>	<input type="checkbox"/> Habillement
<input type="checkbox"/> Epoque médiévale	<input type="checkbox"/> Atelier métallurgique	<input type="checkbox"/> <input type="text"/>	<input type="checkbox"/> Trésor
<input type="checkbox"/> Haut Moyen Âge	<input type="checkbox"/> Autre :	<input type="checkbox"/> <input type="text"/>	<input type="checkbox"/> Autre :
<input type="checkbox"/> Moyen Âge			
<input type="checkbox"/> Bas Moyen Âge			
<input type="checkbox"/> Temps modernes			
<input checked="" type="checkbox"/> Epoque contemporaine			
<input checked="" type="checkbox"/> Ère industrielle			

Etudes spécialisées	
<input type="checkbox"/> Géologie	<input type="checkbox"/> Céramologie
<input type="checkbox"/> Datation	<input type="checkbox"/> Analyse métaux
<input type="checkbox"/> Anthropologie	<input type="checkbox"/> Numismatique
<input type="checkbox"/> Paléontologie	<input type="checkbox"/> Conservation
<input type="checkbox"/> Zoologie	<input type="checkbox"/> Restauration
<input type="checkbox"/> Botanique	<input type="checkbox"/> Acquisition des données
<input type="checkbox"/> Palynologie	<input type="checkbox"/> Autre :
<input type="checkbox"/> Macro-restes	<input type="checkbox"/> <input type="text"/>

Notice scientifique

Entre les mois de novembre 2021 et février 2022, le Service d'archéologie du canton de Genève (SAGe) a été amené à suivre la fouille de fosses d'implantation de nouveaux arbres dans un secteur particulièrement sensible, sur le plan archéologique, du parc de la Perle du Lac. Cette zone de réserve a été définie en fonction des investigations archéologiques qui y avaient été réalisées en 1926 par Louis Blondel et qui avaient mis au jour les thermes d'une *villa* gallo-romaine **FIG 1**. Les différentes stratigraphies de 16 fosses d'arbre ont ainsi pu être établies et numérisées afin de permettre l'observation de la succession des couches de remblais qui ont marqué l'occupation de la parcelle considérée.



FIG 1 Vue du parc de la Perle du Lac avec la délimitation de la zone de réserve archéologique et, en blanc, le plan du secteur thermal gallo-romain découvert en 1926.

Cadre de l'intervention

Contexte géographique et géologique

Genève se trouve à l'émissaire du lac Léman, au bord du Petit-Lac¹, et se situe dans une vaste cuvette, limitée au nord, par la chaîne du Jura, au sud, par le Salève et à l'ouest par la chaîne du Vuache. Ces reliefs se sont formés par plissement ou chevauchement durant la phase terminale de l'orogénèse alpine, entre 5 et 10 millions d'années et ont été érodés par les glaciers qui s'y sont succédés jusqu'il y a environ 30'000 ans av. J.-C.

Le territoire genevois fait partie du Plateau suisse, dont il constitue l'extrémité occidentale mais appartient aussi au bassin versant du Rhône, qui prend sa source en Valais.

La topographie de cette région a, de fait, favorisé l'installation humaine. Sa situation à la sortie du lac Léman permettait périodiquement la traversée à gué du Rhône et le relief environnant apportait refuge aux habitants lors des périodes de crues lacustres ou fluviales, voire de catastrophes naturelles. En effet, le niveau du lac, atteignant actuellement l'altitude de 372 m au-dessus du niveau de la mer, a connu d'importantes fluctuations. S'il approchait 405 m environ 20'500 ans av. J.-C., il a nettement baissé entre 4000 et 850 av. J.-C. pour atteindre 369 m et voir l'installation de villages palafittiques², puis remonter à 375 m à l'époque gallo-romaine³.

La géologie du Bassin genevois se compose d'une base rocheuse de molasse, d'environ 1 km d'épaisseur, sur laquelle des sédiments glaciaires, lacustres et fluviaux sont venus se déposer. A noter, que depuis la fin du Moyen Âge jusqu'au XVIII^e siècle, des carrières de Molasse Rouge ont été exploitées, tant sur terre (dans les environs du Jardin Botanique actuel) que sous l'eau (Reposoir, Chambésy **FIG 2** et Montalègre, Cologny)⁴.



FIG 2 Carrières de molasse rouge sous-lacustres du Reposoir.

¹ W. WILDI, P. CORBOUD, S. GIRARD-CLOS *et al.* 2017, p. 7. On appelle Petit-Lac la zone du lac Léman comprise entre Nyon et Genève et Grand-Lac, celle située en amont de Nyon et dont le bassin est le plus profond.

² Notamment le village littoral des Pâquis de l'âge du Bronze final, situé au sud du parc Mon Repos et remontant à 1000 av. J.-C., *ibid.*, fig. b, p. 72.

³ *Ibid.*, p. 14.

⁴ *Ibid.*, pp. 69-70, fig. a et b et A. FAVRE 1879, pp. 26-27.

Contexte archéologique

Une investigation archéologique d'importance est à mentionner dans le parc de la Perle du Lac, il s'agit de celle menée par Louis Blondel en 1926⁵ dans la partie inférieure de la propriété **FIG 3**.

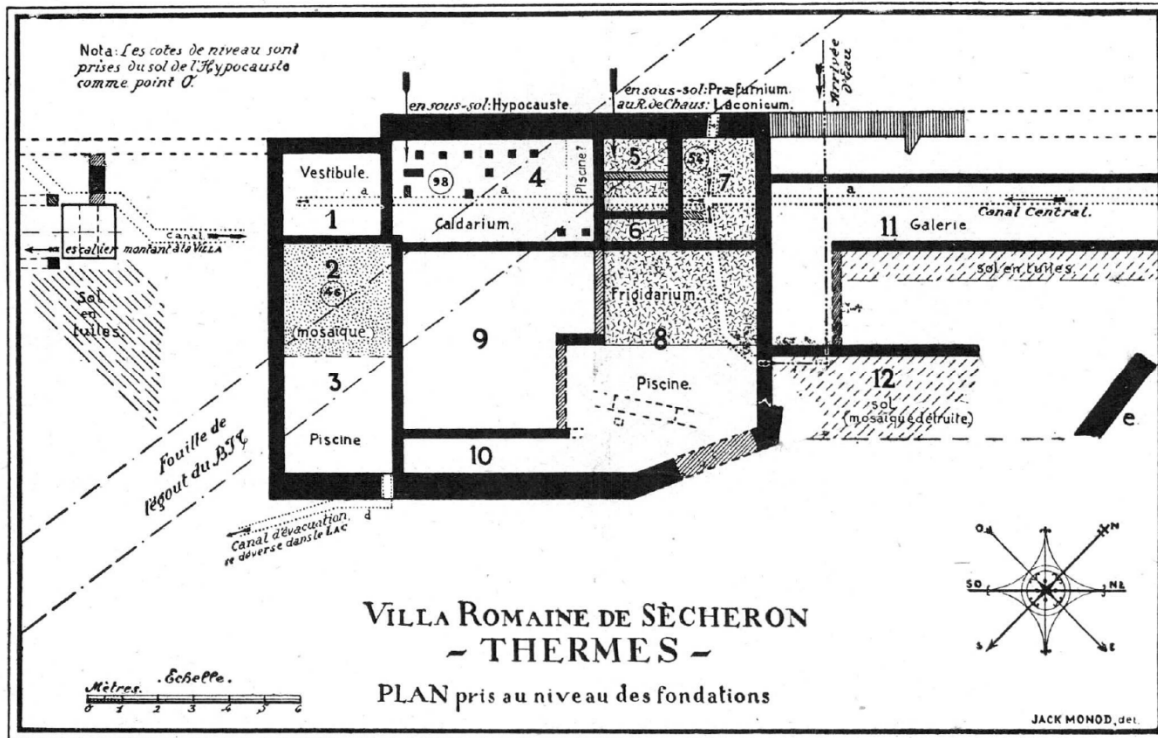


FIG 3 Plan des thermes de la villa gallo-romaine de Sécheron.

De la fin mai au 2 août 1926, Louis Blondel supervisa la fin des travaux d'installation d'un collecteur pour le Bureau international du Travail, qui avaient malheureusement déjà détérioré une grande partie des vestiges découverts et y effectua quelques sondages complémentaires. Un plan de 14,20 sur 10,50 m a ainsi été dégagée restituant une dizaine de pièces dont une à hypocauste (pièce 4). De nombreux stucs, enduits peints, revêtements lithiques, fragments de tuiles et *tubuli* y ont d'ailleurs été retrouvés. Deux bassins ont été observés, dans les espaces 3 et 8, alors que des sols en terrazzo équipaient les salles 5 à 8 et qu'une mosaïque en tesselles blanches revêtait celui de la pièce 3. Au nord-est, le bâtiment thermal donne accès à un portique en L se développant du côté du lac. Cette annexe thermale devait dépendre d'une villa dont la localisation n'a pas été reconnue lors des travaux mais qui devait plutôt se situer au sud-ouest des thermes, proche de l'actuelle Villa Bartholoni. Notons enfin qu'à Genève la seule représentation gallo-romaine peinte connue, représentant une figure masculine⁶, provient justement des déblais de cette résidence **FIG. 4**.



FIG 4 Fragment de fresque à fond blanc illustrant une représentation figurée masculine et remontant probablement à l'époque flavienne.

⁵ L. BLONDEL 1927.

⁶ E. RAMJOUÉ, S. PULGA ET A. RINUJY 1995, p. 173.

Contexte historique



FIG 5 *Vue des cinq parcs de la rive droite du lac à Genève.*

Bordé, au sud, par les parcs Mon Repos et Moynier et, au nord, par les parcs Barton et William-Rappard **FIG 5**⁷, celui de la Perle du Lac permet d'admirer tant la rade de Genève⁸, que le Grand-Lac ou le paysage alpin de la Haute-Savoie française lui faisant face⁹. L'histoire du parc de la Perle du Lac est commune à celle de ces voisins. En effet, ils sont chacun des héritages de domaines privés du XVIII^e siècle, issus d'un parcellaire préexistant et remontant au XIV^e siècle¹⁰. Ils seront progressivement acquis par la Ville de Genève dans le but d'en faire des parcs publics, entre la fin du XIX^e et le début du XX^e siècle¹¹.

Le parc actuel reprend les limites de l'ancien domaine Bartholoni¹², créé par Jean François Bartholony¹³ (1796-1881), économiste et banquier naturalisé français. Originaire de Genève

⁷ COLLECTIF 2020, p. 7.

⁸ La "Rade de Genève" est comprise entre l'île Rousseau en aval et la transversale menant de la Perle-du-Lac au Port-Noir (sur la rive gauche), en amont, W. WILDI, P. CORBOUD, S. GIRARD-CLOS *et al.* 2017, p. 7.

⁹ www.geneve.ch/fr/parc-perle (consulté le 23 mars 2022).

¹⁰ Le territoire de Sécheron appartenait alors au fief du chapitre de Genève, L. BLONDEL 1927, p. 35.

¹¹ COLLECTIF 2020, pp. 10-11.

¹² L. EL-WAKIL 1988, pp. 102-103.

¹³ C'est ainsi que s'orthographe le nom jusqu'à la fin du XIX^e s. et notamment en France.

et descendant d'une famille protestante toscane de commerçants de soieries, il fut un des pionniers des chemins de fer en France, administrant en particulier la ligne Lyon-Genève. Il garda toutefois un très fort attachement à sa ville natale, où il fonda le premier Conservatoire de musique en 1835¹⁴.

Acquise des mains de la famille genevoise Melly en 1825 par les deux frères Bartholoni, Jean François et Ami Constant, la parcelle riveraine de plus de quatre hectares ressemble alors à une exploitation agricole, simplement agrémentée d'une allée rectiligne réalisée au milieu de champs et de vergers, menant à trois bâtiments et à un petit port. Métamorphosé par l'architecte parisien Félix-Emmanuel Callet¹⁵, la propriété se dote, entre 1828 et 1832, d'une imposante grille d'entrée à double pavillon, d'un parc à l'anglaise à bosquets et chemins ondoyants, d'une serre, d'une orangerie, d'un verger, d'un potager et d'un "chalet", le tout servant d'écrin à une luxueuse villa à l'italienne de pierre de taille blanche se développant sur trois niveaux **FIG 6**.



FIG 6 Villa Batholony à Sécheron, milieu du XIX^e siècle, Antonio Fontanesi (1818-1882), lithographie.

A la suite de difficultés financières, Jean François Bartholoni vend la partie inférieure de son domaine à Rodolphe Wilsdorf, dont l'épouse est à l'origine de l'appellation de "Perle du Lac". En 1926, la Société des Nations achète aux héritiers Wilsdorf leur propriété ainsi que le domaine Moynier voisin. Devenu ensuite propriété de la Ville de Genève, le parc actuel ouvrira ses portes en 1929¹⁶. Depuis 1964, la Villa Bartholoni abrite le Musée d'histoire des sciences¹⁷.

¹⁴ Situé à l'origine en Vieille-Ville à la rue de l'Evêché, ce conservatoire fut reconstruit par les frères Jean François et Ami Constant Bartholoni à la Place de Neuve, son emplacement actuel, entre 1855 et 1858, sur les plans de l'architecte français Jean-Baptiste-Cicéron Lesueur qui avait repris les épreuves de Félix-Emmanuel Callet (1791-1854), décédé du choléra peu de temps auparavant, cf. www.bge-geneve.ch/iconographie/oeuvre/vg-n18x24-09856 (consulté le 23 mars 2022) et L. EL-WAKIL 1988, p. 102.

¹⁵ Bartholoni chargea Callet, entre 1825 et 1827, d'entreprendre un voyage d'une année en Italie pour mener une étude préparatoire et pour en rapporter les plans de sa future résidence genevoise, *ibidem*.

¹⁶ www.geneve.ch/fr/parc-perle (consulté le 23 mars 2022).

¹⁷ A. WINIGER-LABUDA 2015.

Méthode de l'intervention

La méthode choisie pour nos observations s'est définie en novembre 2021, lorsque le SAGe a été informé par Claire Méjean, architecte-paysagiste et historienne des jardins au Service des espaces verts de la Ville de Genève (SEVE), d'un vaste programme de plantations d'arbres, tant au parc de la Perle du Lac (rive droite) qu'au parc de la Grange (rive gauche).

Les fosses destinées à accueillir ces nouveaux arbres n'étant habituellement pas très profondes (40-80 cm de profondeur au maximum), nous avons opté pour une surveillance systématique de leur excavation mais dans un secteur particulier du parc de la Perle du Lac seulement, défini autour des anciennes fouilles de Louis Blondel dans le bas de la parcelle (**FIG 1**, p. 6). Ces observations sont assorties d'une prise documentaire basique, incluant une rapide description de la stratigraphie des couches dégagées, quelques photographies et la localisation précise des fosses étudiées, altitudes comprises **FIG 17**.

Lors de nos premières interventions, nous avons bénéficié de plans complémentaires transmis par Kenan Selmani, architecte-paysagiste au SEVE, qui nous a également fait parvenir une synthèse historique des parcs de la rive droite de Genève, réalisée en 2020¹⁸. Nous avons, de plus, pu compter sur les collaborateurs techniques du SEVE, placés sous la responsabilité de Bruno Holzer, contremaître principal, pour les fouilles des fosses.

C'est pourquoi, nous tenons à remercier chaleureusement Claire Méjean, Kenan Selmani, Bruno Holzer et son équipe pour leur collaboration, leur aide et leur intérêt.

Du côté du SAGe, notre équipe était complétée par Anne de Weck, archéologue, et Garance Lledo, stagiaire, auxquelles nous exprimons également toute notre reconnaissance pour leur contribution.

Présentation des résultats

Sondages

*Pour le plan de situation des sondages, voir **FIG 17**, p. 22.*

Sondage 1 dans le prolongement de la façade sud du Musée des Sciences, à env. 50 m au N-O

2 500 780.32 / 1 119 687.55, alt. 381.43 -380.83 m

Fosse 1,5 m x 1.5 m pour un petit sequoia (20 ans!)

Stratigraphie (60 cm de prof.) **FIG 7** :

1. Terre végétale avec quelques fragments de *tegulae* en interface inférieure, voire en interface avec la couche 2 (15-20 cm ép.);
2. Moraine remaniée composée de graviers et galets liés à une matrice brune sablo-limoneuse (40 cm ép.);
3. Graviers-galets naturels oxydés brun-rouge.

¹⁸ Cf. COLLECTIF 2020.



FIG 7 Sondage 1 vu de l'ouest.

Sondage 2 à l'arrière du Musée des Sciences sur le terrassement supérieur

2 500 697.64 / 1 119 653.42, alt. 383.22 -382.62 m

Fosse 1.5 x 1.5 cm pour un chêne

Stratigraphie (60 cm de prof.) **FIG 8** :

1. Terre végétale (15-20 cm ép.);
2. Remblai sablo-limoneux homogène, brun-brun foncé, assez organique contenant des graviers, galets, rares fragments de tuiles, rares ossements de faune, nodules de terre glaise (40 cm ép.).



FIG 8 Sondage 2 vu du sud-est.

Sondage 3 au nord du bosquet situé à l'arrière du Musée d'Histoire des Sciences

2 500 704.91 / 1 119 667.04, alt. 383.28 – 382.68 m

Fosse 1.5 x 1.5 cm pour un érable

Stratigraphie (60 cm de prof.) :

1. Terre végétale (15-20 cm ép.);
2. Remblai sablo-limoneux homogène, brun-brun foncé, assez organique contenant des graviers, galets, rares fragments de tuiles, rares ossements de faune, nodules de terre glaise (40 cm ép.).

Sondage 4 au nord, bout du Parc au bord de l'eau

2 500 824.90 / 1 119 701.04, alt. 379.30 - 378.60 m

Fosse 1.5 x 1.5 cm pour un tilleul

Stratigraphie (70 cm de prof.) **FIG 9** :

1. Terre végétale (15-20 cm ép.) ;
2. Remblai sablo-graveleux brun foncé contenant des galets, fragments de schistes, quelques fragments de mortier gris, restes de revêtements goudronneux noirs, rares fragments de céramiques modernes (40 cm ép.);
3. Graviers-galets naturels jaunes (observés sur 10 cm ép.).



FIG 9 Sondage 4 vu du nord-ouest.

Sondage 5 au nord du bosquet situé à l'arrière du Musée d'Histoire des Sciences à côté du sondage 3

2 500 713.25 / 1 119 669.03, alt. 383.05 – 382.45 m

Fosse 1.5 x 1.5 cm pour un érable champêtre

Stratigraphie (60 cm de prof.) :

1. Terre végétale (15-20 cm ép.);
2. Remblai sablo-limoneux homogène, brun-brun foncé, assez organique contenant des graviers, galets, rares fragments de tuiles, rares ossements de faune, nodules de terre glaise (40 cm ép.).

Sondage 6 secteur à l'ouest du chemin principal du bas du parc

2 500 821.46 / 1 119 663.07, alt. 377.15 – 376.25 m

Fosse 1.5 x 1.5 cm pour un chêne

Stratigraphie (90 cm de prof.) **FIG 10** :

1. Terre végétale (20 cm ép.);
2. Remblai sablo-limoneux homogène, brun-rouge contenant des graviers, galets, rares fragments de tuiles, quelques céramiques modernes, nodules d'argile oxydée, beaucoup de racines (50 cm ép.);
3. Niveau de sables-graviers peut-être naturels (observé sur 20 cm ép.).



FIG 10 *Sondage 6 vu du sud.*

Sondage 7 même secteur au nord du sondage 6

2 500 824.64 / 1 119 668.89, alt. 377.18 m

Fosse 1.5 x 1.5 cm pour un chêne

Observation abandonnée à cause du nombre trop important de racines, mais apparemment même stratigraphie que dans le sondage 6.

Sondage 8 même secteur, tout au sud

2 500 826.89 / 1 119 646.80, alt. 376.51 – 375.51 m

Fosse 1.5 x 1.5 cm pour un érable

Stratigraphie (1 m de prof.) :

1. Terre végétale (20 cm ép.);
2. Remblai sablo-limoneux homogène, brun-gris contenant des graviers, galets, rares fragments de tuiles, quelques céramiques modernes (40 cm ép.);
3. Remblai sablo-limoneux brun-rouge compact contenant des graviers, galets, rares fragments de tuiles (observé sur 40 cm ép.).

Sondage 9 même secteur entre les sondages 6 et 8

2 500 819.35 / 1 119 653.81, alt. 376.89 – 376.00 m

Fosse 1.5 x 1.5 m pour un érable

Stratigraphie (90 cm de prof.) **FIG 11** :

1. Terre végétale (20 cm ép.);
2. Remblai sablo-limoneux homogène brun contenant des graviers, galets, rares fragments de tuiles, quelques céramiques modernes, en interface avec couche 3, nombreux fragments de tuiles rouges (40 cm ép.);
3. Couche de terre glaise quasiment pure recouvrant un collecteur moderne (observée sur 30 cm ép.).



FIG 11 Sondage 9 vu du sud.

Sondage 10 secteur à l'est du chemin principal du bas du parc, en contrebas sud du petit sentier longeant la rive

2 500 839.32 / 1 119 641.24, alt. 376.27 – 375.37 m

Fosse 1.5 x 1.5 m pour un chêne

Stratigraphie (90 cm de prof.) **FIG 12** :

1. Terre végétale (20 cm ép.);
2. Remblai sablo-limoneux homogène, brun-rouge contenant des graviers, galets, rares fragments de tuiles, quelques céramiques modernes (40 cm ép.);
3. Remblai sablo-limoneux brun foncé contenant des graviers, galets, rares fragments de tuiles, quelques céramiques modernes (10 cm ép.);
4. Couche de terre glaise quasiment pure recouvrant un collecteur moderne (observée sur 20 cm ép.).



FIG 12 Sondage 10 vu du sud.

Sondage 11 secteur à l'est du chemin principal du bas du parc au nord du petit sentier longeant la rive

2 500 839.24 / 1 119 681.13, alt. 376.90 – 376.00 m

Fosse 1.5 x 1.5 m pour un chêne

Stratigraphie (90 cm de prof.) FIG 13 :

1. Terre végétale (20 cm ép.);
2. Remblai sablo-limoneux homogène, brun contenant des graviers, galets, rares fragments de tuiles (30 cm ép.);
3. Remblai sablo-limoneux brun-gris contenant beaucoup de fragments de mortier, fragments de schistes, des graviers, galets, rares fragments de tuiles, quelques fragments de molasse (20 cm ép.);
4. Couche d'argile quasiment pure recouvrant un collecteur moderne (observée sur 20 cm ép.).



FIG 13 Sondage 11 vu du sud-ouest.

Sondage 12 même secteur, au sud du sondage 11

2 500 839.76 / 1 119 669.22, alt. 376.74 – 375.94 m

Fosse 1.5 x 1.5 cm pour un chêne

Stratigraphie (80 cm de prof.) **FIG 14** :



FIG 14 Sondage 12 vu du nord-est.

1. Terre végétale (20 cm ép.);
2. Remblai sablo-limoneux homogène, brun contenant des graviers, galets, rares fragments de tuiles (30 cm ép.);
3. Remblai sablo-limoneux brun-gris contenant beaucoup de fragments de mortier, fragments de schistes, des graviers, galets, rares fragments de tuiles, quelques fragments de molasse (20 cm ép.);
4. Couche d'argile quasiment pure recouvrant un collecteur moderne (observée sur 10 cm ép.).

Sondage 13 même secteur, au sud du sondage 12

2 500 838.53 / 1 119 652.62, alt. 376.76 – 375.86 m

Fosse 1.5 x 1.5 m pour un chêne

Stratigraphie (90 cm de prof.) :

1. Terre végétale (20 cm ép.);
2. Remblai sablo-limoneux homogène, brun contenant des graviers, galets, rares fragments de tuiles (40 cm ép.);
3. Litage de terre glaise (10 cm ép.);
4. Remblai sablo-graveleux avec grosses pierres, fragments de mortier et quelques fragments de tuiles (observé sur 20 cm ép.).

Sondage 14, au nord du Musée des Sciences, à l'angle ouest de la pelouse FIG 16

2 500 737.46 / 1 119 666.91, alt. 382.55 – 381.85 m

Fosse 1.5 x 1.5 m pour un pin noir

Stratigraphie (70 cm de prof.) :

1. Terre végétale (20 cm ép.);
2. Remblai homogène sablo-limoneux brun, avec beaucoup de graviers, quelques fragments de tuiles et de rares tessons de céramiques modernes (50 cm ép.).

Sondage 15, même secteur, au sud du sondage 14 FIG 16

2 500 732.43 / 1 119 662.54, alt. 382.62 – 381.82 m

Fosse 1.5 x 1.5 m pour un pin noir

Stratigraphie (80 cm prof.) **FIG 15** :



FIG 15 Sondage 15 vu de l'ouest.

1. Terre végétale (20 cm ép.);
2. Remblai homogène sablo-limoneux brun, avec beaucoup de graviers, quelques fragments de tuiles et de rares tessons de céramiques modernes (50 cm ép.);
3. Remblai sablo-graveleux brun-rouge contenant des graviers morainiques pris dans du limon brun-rouge, observé sur une dizaine de cm.

Sondage 16, même secteur, à l'est du sondage 15 FIG 16

2 500 736 / 1 119 600.43, alt. 382.54 – 381.74 m

Fosse 1.5 x 1.5 m pour un pin noir

Stratigraphie (80 cm prof.) :

1. Terre végétale (20 cm ép.);
2. Remblai homogène sablo-limoneux brun, avec beaucoup de graviers, quelques fragments de tuiles et de rares tessons de céramiques modernes (50 cm ép.);
3. Remblai sablo-graveleux brun-rouge contenant des graviers morainiques pris dans du limon brun-rouge, observé sur une dizaine de cm.



FIG 16 *Vue des sondages 14, 15 et 16 depuis le sud.*

Synthèse/Conclusion



FIG 17 Situation des sondages suivis par le SAGe entre novembre 2021 et février 2022 et du plan des thermes dégagés par Louis Blondel en 1926; en rouge : périmètre de réserve archéologique.

La majorité des fosses excavées en terrasse supérieure, ne contient qu'une ou deux strates scellant des graviers morainiques, parfois oxydés, sans que l'on puisse certifier qu'ils soient naturels. Quelques tessons de céramiques modernes et des fragments de tuiles antiques y sont apparus.

Sans grande surprise, ce sont les sondages les plus proches des anciennes fouilles, notamment les sondages 11 et 12, qui présentent un profil plus complexe conservant de rares vestiges antiques, qu'il s'agisse de fragments de tuiles, de céramiques, voire même d'enduits à la fresque, le tout mêlé à du matériel plus récent¹⁹. Les strates observées scellent toutefois un épais remblai de terre glaise jaune-beige qui marque l'installation d'un grand collecteur moderne. Nous ne pouvons donc pas considérer ces couches comme étant en

¹⁹ Le matériel a été analysé mais pas conservé.

place : elles résultent assurément de perturbations liées aux travaux d'assainissement modernes entrepris au début du XX^e siècle dans cette partie du parc.

Il apparaît aussi que la profondeur des fosses n'est pas suffisamment importante (0,6 à 1 m) pour avoir touché les strates archéologiques décrites par Louis Blondel en 1926.

Ainsi, même si cette surveillance de 16 fosses ne s'est pas soldée par des découvertes prestigieuses, la collecte des informations stratigraphiques est précieuse pour le SAGe. Elle nous renseigne sur la nature des remblais supérieurs conservés dans le sous-sol du parc de la Perle du Lac, dans lequel une luxueuse résidence s'était installée dans l'Antiquité. Ces premiers renseignements méritent, à ce titre, toute notre attention.

Bibliographie

BLONDEL Louis

1927 « La villa romaine de Sécheron (Genève) ». *Genava V*, 1927, pp. 34-47.

COLLECTIF

2020 *Plan de Gestion des parcs de la rive droite du lac, Rapport N° 1 – Diagnostic Thématique, Cahier 1.1 – volet A, histoire et patrimoine*, Chavannes-près-Renens 2020 sur mandat du SEVE.

EL-WAKIL Leïla

1983 « A propos de la "Perle du Lac" ». *Revue du Vieux Genève* 1983, pp. 39-50.

1988 « Genève : sur les traces de deux prix de Rome : F.-E. Callet (1791-1854) et J.-B.-C. Lesueur (1794-1883) ». *Bulletin de la Société de l'Histoire de l'Art français* 1986, 1988, pp. 101-115.

FAVRE Alphonse

1879 « Description géologique du canton de Genève II ». *Bulletin de la Classe d'agriculture de la Société des arts de Genève* 80, 1879.

RAMJOUÉ Evelyne, PULGA Stefano ET RINUY Anne

1995 « Les peintures gallo-romaines de la *domus* de Saint-Antoine à Genève : d'une observation à l'autre ». *Zeitschrift für Schweizerische Archäologie und Kunstgeschichte*, Band 52, 1995, pp. 173-190.

WILDI Walter, CORBOUD Pierre, GIRARDCLOS Stéphanie *et al.*

2017 *Guide : Géologie et archéologie de Genève*, Société de physique et d'histoire naturelle de Genève, Genève 2017.

WINIGER-LABUDA Anastazja

2015 « La Villa Bartholoni-Musée de l'histoire des sciences ». Musée de l'histoire des sciences, Genève 2015, villa_bartholoni_renovation_f.pdf (ville-geneve.ch), consulté le 28 mars 2022.

Crédit des illustrations

Page de garde, FIG 7 à 9 : Photos SAGe, Anne de Weck ;

FIG 1 et 17 : Plan SITG mars 2022 - SAGe, Evelyne Broillet-Ramjoué ;

FIG 2 : W. WILDI, P. CORBOUD, S. GIRARDCLOS *et al.* 2017, fig. b, p. 70 (Photo Google Earth2012) ;

FIG 3, 4 : L. BLONDEL 1927, respectivement fig. 1, p. 35 et fig. 7, p. 45 ;

FIG 5 : COLLECTIF 2020, fig. p. 6 (Photo SITG 2019) ;

FIG 6 : Bibliothèque de Genève, Iconographie, N° Inv. Vg-n18x24-09856, www.bge.geneve.ch/iconographie/oeuvre/vg-n18x24-09856, consulté le 23 mars 2022 ;

FIG 10 à 16 : Photos SAGe, Evelyne Broillet-Ramjoué.

Annexes

Inventaire des photographies numériques

SITE	N° Photo	Type	Sondage	Plan	Vue	Auteur	Date
Ge009-02	Ph001	JPG et NEF	1	horizontal	de l'ouest	adw	09.11.2021
Ge009-02	Ph002	JPG et NEF	1	horizontal	de l'est	adw	09.11.2021
Ge009-02	Ph003	JPG et NEF	1	horizontal	du nord	adw	09.11.2021
Ge009-02	Ph004	JPG et NEF	1	plongée	du nord-est	adw	09.11.2021
Ge009-02	Ph005	JPG et NEF	1	plongée	du nord-est	adw	09.11.2021
Ge009-02	Ph006	JPG et NEF	1	plongée	de l'ouest	adw	09.11.2021
Ge009-02	Ph007	JPG et NEF	1	plongée	de l'ouest	adw	09.11.2021
Ge009-02	Ph008	JPG et NEF	1	plongée	de l'ouest	adw	09.11.2021
Ge009-02	Ph009	JPG	2	horizontal	de l'est	adw	18.11.2021
Ge009-02	Ph010	JPG	2	horizontal	de l'ouest	adw	18.11.2021
Ge009-02	Ph011	JPG	2	horizontal	du nord	adw	18.11.2021
Ge009-02	Ph012	JPG	2	plongée	de l'est	adw	18.11.2021
Ge009-02	Ph013	JPG	2	plongée	de l'est	adw	18.11.2021
Ge009-02	Ph014	JPG	2	plongée	de l'ouest	adw	18.11.2021
Ge009-02	Ph015	JPG	2	plongée	de l'ouest	adw	18.11.2021
Ge009-02	Ph016	JPG	2	plongée	de l'est	adw	18.11.2021
Ge009-02	Ph017	JPG	3	horizontal	du nord	adw	18.11.2021
Ge009-02	Ph018	JPG	3	horizontal	du nord-est	adw	18.11.2021
Ge009-02	Ph019	JPG	3	horizontal	de l'ouest	adw	18.11.2021
Ge009-02	Ph020	JPG	3	plongée	du nord	adw	18.11.2021
Ge009-02	Ph021	JPG	3	plongée	du nord	adw	18.11.2021
Ge009-02	Ph022	JPG	3	plongée	du nord	adw	18.11.2021
Ge009-02	Ph023	JPG	3	plongée	du sud	adw	18.11.2021
Ge009-02	Ph024	JPG	3	plongée	du sud	adw	18.11.2021
Ge009-02	Ph025	JPG	3	plongée	du sud	adw	18.11.2021
Ge009-02	Ph026	JPG	3	plongée	du nord	adw	18.11.2021
Ge009-02	Ph027	JPG	3	plongée	du nord	adw	18.11.2021
Ge009-02	Ph028	JPG et NEF	4	horizontal	de l'est	adw	23.11.2021
Ge009-02	Ph029	JPG et NEF	4	horizontal	du sud	adw	23.11.2021
Ge009-02	Ph030	JPG et NEF	4	horizontal	du sud	adw	23.11.2021
Ge009-02	Ph031	JPG et NEF	4	plongée	du sud	adw	23.11.2021
Ge009-02	Ph032	JPG et NEF	4	plongée	du sud	adw	23.11.2021
Ge009-02	Ph033	JPG et NEF	4	plongée	du nord	adw	23.11.2021
Ge009-02	Ph034	JPG et NEF	4	plongée	du nord	adw	23.11.2021
Ge009-02	Ph035	JPG et NEF	4	plongée	du nord	adw	23.11.2021
Ge009-02	Ph036	JPG et NEF	4	plongée	du nord	adw	23.11.2021
Ge009-02	Ph037	JPG et NEF	4	plongée	du sud	adw	23.11.2021
Ge009-02	Ph038	JPG et NEF	4	plongée	du sud	adw	23.11.2021
Ge009-02	Ph039	JPG et NEF	5	horizontal	du nord-ouest	adw	23.11.2021
Ge009-02	Ph040	JPG et NEF	5	plongée	du sud	adw	23.11.2021
Ge009-02	Ph041	JPG et NEF	5	plongée	du sud	adw	23.11.2021

SITE	No Photo	Type	Sondage	Plan	Vue	Auteur	Date
Ge009-02	Ph042	JPG et NEF	5	plongée	du sud	adw	23.11.2021
Ge009-02	Ph043	JPG et NEF	5	plongée	du nord	adw	23.11.2021
Ge009-02	Ph044	JPG et NEF	5	plongée	du nord	adw	23.11.2021
Ge009-02	Ph045	JPG et NEF	5	plongée	du nord	adw	23.11.2021
Ge009-02	Ph046	JPG et NEF	5	plongée	du nord	adw	23.11.2021
Ge009-02	Ph047	JPG et NEF	5	plongée	du nord	adw	23.11.2021
Ge009-02	Ph048	JPG et NEF	6	horizontal	du nord-ouest	adw	13.12.2021
Ge009-02	Ph049	JPG et NEF	6	plongée	du sud	ebr	13.12.2021
Ge009-02	Ph050	JPG et NEF	6	horizontal	de l'ouest	ebr	13.12.2021
Ge009-02	Ph051	JPG et NEF	6	horizontal	du nord-ouest	ebr	13.12.2021
Ge009-02	Ph052	JPG et NEF	6	plongée	du sud	ebr	13.12.2021
Ge009-02	Ph053	JPG et NEF	6	plongée	du sud	ebr	13.12.2021
Ge009-02	Ph054	JPG et NEF	6	plongée	du nord	ebr	13.12.2021
Ge009-02	Ph055	JPG et NEF	6	plongée	du nord	ebr	13.12.2021
Ge009-02	Ph056	JPG et NEF	6	plongée	du nord	ebr	13.12.2021
Ge009-02	Ph057	JPG et NEF	6	plongée	du sud	ebr	13.12.2021
Ge009-02	Ph058	JPG et NEF	6	plongée	du sud	ebr	13.12.2021
Ge009-02	Ph059	JPG	7	horizontal	de l'ouest	adw	13.12.2021
Ge009-02	Ph060	JPG et NEF	7	horizontal	de l'ouest	ebr	13.12.2021
Ge009-02	Ph061	JPG et NEF	7	horizontal	de l'ouest	ebr	13.12.2021
Ge009-02	Ph062	JPG et NEF	7	horizontal	du nord-ouest	ebr	13.12.2021
Ge009-02	Ph063	JPG	8	plongée	du sud	adw	13.12.2021
Ge009-02	Ph064	JPG	8	plongée	du sud	adw	13.12.2021
Ge009-02	Ph065	JPG	8	plongée	du sud	adw	13.12.2021
Ge009-02	Ph066	JPG	8	plongée	du nord	adw	13.12.2021
Ge009-02	Ph067	JPG et NEF	8	plongée	du nord	ebr	13.12.2021
Ge009-02	Ph068	JPG et NEF	8	plongée	du sud	ebr	13.12.2021
Ge009-02	Ph069	JPG et NEF	8	plongée	du sud	ebr	13.12.2021
Ge009-02	Ph070	JPG et NEF	8	plongée	du sud	ebr	13.12.2021
Ge009-02	Ph071	JPG et NEF	8	horizontal	du nord	ebr	13.12.2021
Ge009-02	Ph072	JPG et NEF	8	horizontal	de l'est	ebr	13.12.2021
Ge009-02	Ph073	JPG et NEF	9	plongée	du sud	ebr	13.12.2021
Ge009-02	Ph074	JPG et NEF	9	plongée	de l'ouest	ebr	13.12.2021
Ge009-02	Ph075	JPG et NEF	9	plongée	de l'ouest	ebr	13.12.2021
Ge009-02	Ph076	JPG et NEF	9	plongée	de l'ouest	ebr	13.12.2021
Ge009-02	Ph077	JPG et NEF	9	plongée	du nord	ebr	13.12.2021
Ge009-02	Ph078	JPG et NEF	9	plongée	du nord	ebr	13.12.2021
Ge009-02	Ph079	JPG et NEF	9	plongée	du nord	ebr	13.12.2021
Ge009-02	Ph080	JPG et NEF	10	horizontal	du sud	ebr	14.12.2021
Ge009-02	Ph081	JPG et NEF	10	horizontal	du sud-ouest	ebr	14.12.2021
Ge009-02	Ph082	JPG et NEF	10	plongée	de l'ouest	ebr	14.12.2021
Ge009-02	Ph083	JPG et NEF	10	plongée	du sud	ebr	14.12.2021
Ge009-02	Ph084	JPG et NEF	10	plongée	du sud	ebr	14.12.2021
Ge009-02	Ph085	JPG et NEF	10	plongée	du sud	ebr	14.12.2021

SITE	No Photo	Type	Sondage	Plan	Vue	Auteur	Date
Ge009-02	Ph086	JPG et NEF	10	plongée	du sud	ebr	14.12.2021
Ge009-02	Ph087	JPG et NEF	10	plongée	du nord	ebr	14.12.2021
Ge009-02	Ph088	JPG et NEF	10	plongée	du nord	ebr	14.12.2021
Ge009-02	Ph089	JPG et NEF	10	plongée	du nord	ebr	14.12.2021
Ge009-02	Ph090	JPG et NEF	10	horizontal	de l'ouest	ebr	14.12.2021
Ge009-02	Ph091	JPG et NEF	11	horizontal	de l'ouest	ebr	14.12.2021
Ge009-02	Ph092	JPG et NEF	11	plongée	de l'ouest	ebr	14.12.2021
Ge009-02	Ph093	JPG et NEF	11	horizontal	du nord	ebr	14.12.2021
Ge009-02	Ph094	JPG et NEF	11	plongée	du sud-ouest	ebr	14.12.2021
Ge009-02	Ph095	JPG et NEF	11	plongée	du sud-ouest	ebr	14.12.2021
Ge009-02	Ph096	JPG et NEF	11	plongée	du sud-ouest	ebr	14.12.2021
Ge009-02	Ph097	JPG et NEF	11	plongée	du sud-est	ebr	14.12.2021
Ge009-02	Ph098	JPG et NEF	11	plongée	du sud-est	ebr	14.12.2021
Ge009-02	Ph099	JPG et NEF	11	plongée	du nord-est	ebr	14.12.2021
Ge009-02	Ph100	JPG et NEF	11	plongée	du nord-est	ebr	14.12.2021
Ge009-02	Ph101	JPG et NEF	11	plongée	du nord-est	ebr	14.12.2021
Ge009-02	Ph102	JPG et NEF	11	plongée	du sud-ouest	ebr	14.12.2021
Ge009-02	Ph103	JPG et NEF	11	plongée	du sud-ouest	ebr	14.12.2021
Ge009-02	Ph104	JPG et NEF	11	plongée	du sud-ouest	ebr	14.12.2021
Ge009-02	Ph105	JPG et NEF	11	plongée	du sud-est	ebr	14.12.2021
Ge009-02	Ph106	JPG et NEF	11	plongée	du sud	ebr	14.12.2021
Ge009-02	Ph107	JPG et NEF	11	plongée	du nord	ebr	14.12.2021
Ge009-02	Ph108	JPG et NEF	11	plongée	du sud-est	ebr	14.12.2021
Ge009-02	Ph109	JPG et NEF	11	plongée	du sud-est	ebr	14.12.2021
Ge009-02	Ph110	JPG et NEF	12	plongée	du nord-est	ebr	14.12.2021
Ge009-02	Ph111	JPG et NEF	12	plongée	du nord-est	ebr	14.12.2021
Ge009-02	Ph112	JPG et NEF	12	plongée	du nord-est	ebr	14.12.2021
Ge009-02	Ph113	JPG et NEF	12	plongée	du sud-est	ebr	14.12.2021
Ge009-02	Ph114	JPG et NEF	12	plongée	du sud-est	ebr	14.12.2021
Ge009-02	Ph115	JPG et NEF	12	plongée	du sud-est	ebr	14.12.2021
Ge009-02	Ph116	JPG et NEF	12	plongée	du sud-ouest	ebr	14.12.2021
Ge009-02	Ph117	JPG et NEF	12	plongée	du sud-ouest	ebr	14.12.2021
Ge009-02	Ph118	JPG et NEF	12	plongée	du sud-ouest	ebr	14.12.2021
Ge009-02	Ph119	JPG et NEF	13	plongée	du nord	ebr	16.12.2021
Ge009-02	Ph120	JPG et NEF	13	plongée	du nord	ebr	16.12.2021
Ge009-02	Ph121	JPG et NEF	13	plongée	du sud	ebr	16.12.2021
Ge009-02	Ph122	JPG et NEF	13	plongée	du sud	ebr	16.12.2021
Ge009-02	Ph123	JPG et NEF	13	plongée	du sud	ebr	16.12.2021
Ge009-02	Ph124	JPG et NEF	13	plongée	du nord-ouest	ebr	16.12.2021
Ge009-02	Ph125	JPG et NEF	13	plongée	du nord-ouest	ebr	16.12.2021
Ge009-02	Ph126	JPG et NEF	13	plongée	du nord-ouest	ebr	16.12.2021
Ge009-02	Ph127	JPG et NEF	14	horizontal	du sud	ebr	10.02.2022
Ge009-02	Ph128	JPG et NEF	14	horizontal	de l'est	ebr	10.02.2022
Ge009-02	Ph129	JPG et NEF	14	horizontal	de l'ouest	ebr	10.02.2022

SITE	No Photo	Type	Sondage	Plan	Vue	Auteur	Date
Ge009-02	Ph130	JPG et NEF	14	plongée	de l'ouest	ebr	10.02.2022
Ge009-02	Ph131	JPG et NEF	14	horizontal	de l'ouest	ebr	10.02.2022
Ge009-02	Ph132	JPG et NEF	15	plongée	de l'ouest	ebr	10.02.2022
Ge009-02	Ph133	JPG et NEF	15	plongée	de l'ouest	ebr	10.02.2022
Ge009-02	Ph134	JPG et NEF	15	plongée	de l'ouest	ebr	10.02.2022
Ge009-02	Ph135	JPG et NEF	15	plongée	de l'ouest	ebr	10.02.2022
Ge009-02	Ph136	JPG et NEF	16	horizontal	de l'est	ebr	10.02.2022
Ge009-02	Ph137	JPG et NEF	16	plongée	du sud	ebr	10.02.2022
Ge009-02	Ph138	JPG et NEF	16	plongée	du sud	ebr	10.02.2022
Ge009-02	Ph139	JPG et NEF	16	plongée	du sud-ouest	ebr	10.02.2022
Ge009-02	Ph140	JPG et NEF	16	horizontal	du sud	ebr	10.02.2022
Ge009-02	Ph141	JPG et NEF	16	horizontal	du sud	ebr	10.02.2022
Ge009-02	Ph142	JPG et NEF	16	plongée	du nord-ouest	ebr	10.02.2022